

# Характеристики индивидуального трекового дозиметра нейтронов ДИНА

И. Б. КЕИРИМ-МАРКУС, Т. В. КОРОЛЕВА, С. Н. КРАЙТОР, Л. Н. УСПЕНСКИЙ

УДК 539.12.08

В работе [1] предложен индивидуальный дозиметр нейтронов ДИНА, основанный на использовании трековых детекторов осколков деления с  $\text{Np}^{237}$  за фильтром из  $\text{B}^{10}$  и  $\text{U}^{235}$ . Состав делящихся изотопов в дозиметре и толщина фильтра выбраны такими, чтобы его энергетическая характеристика наилучшим образом воспроизводила зависимость кермы нейтронов или ее эквивалента от энергии, т. е. те дозиметрические величины, которые должны измеряться индивидуальным дозиметром. В соответствии с этим измерение дозы нейтронов сводится к счету треков от осколков деления и умножению полученного числа треков на цену трека. Последняя слабо зависит от спектра нейтронов, который может иметь место при облучении. Оценки, проведенные в работе [1], показали, что разброс цены трека для действующих спектров нейтронов в помещениях не превышает 15%.

В настоящей работе исследовались характеристики индивидуального дозиметра ДИНА, которые существенны при его практическом применении (чувствительность дозиметра, зависимость его показаний от расстояния до поверхности тела человека и угла облучения, влияние спектра нейтронов на цену трека).

Эксперименты проводили с дозиметром, состоящим из двух детекторов осколков деления, в одном из которых находится мишень из  $\text{Np}^{237}$  с борным фильтром, а в другом — мишень из  $\text{U}^{235}$  (рис. 1). Осколки деления регистрировались трековыми детекторами из силикатного стекла, которые после облучения протравливали в течение 9 мин в плавиковой кислоте с 5%-ной концентрацией и обсчитывали под микроскопом МБИ-9. Площадь детекторов и мишени  $1 \text{ см}^2$ , толщина мишени  $0,2\text{--}0,5 \text{ мг}/\text{см}^2$ . Калибровку быстрыми нейтронами проводили по  $\text{Pu}$  — Ве-источнику, а тепловыми — в парафиновом замедлителе с  $\text{Pu}$  — Ве-источником.

Цена трека индивидуального дозиметра  $\Delta(E)$  определяется выражением

$$\Delta(E) = \frac{\delta(E)}{\sigma_f(E) \varepsilon_f n}, \quad (1)$$

где  $\delta(E)$  — удельная керма или ее эквивалент для энергии нейтронов  $E$ ;  $\sigma_f(E)$  — сечение деления;  $\varepsilon_f$  — эффективность регистрации осколков деления;  $n$  — число ядер делящегося изотопа

в дозиметре. Среднее по спектру нейтронов значение цены трека для оптимального состава изотопов в дозиметре ( $99,76\%$   $\text{Np}^{237}$  и  $0,24\%$   $\text{U}^{235}$ ) рассчитывали по формуле

$$\bar{\Delta} = \frac{\int \delta(E) \varphi(E) dE}{\int \sigma_f^{\text{эфф}} \text{Np}(E) \varepsilon_f n \varphi(E) dB}, \quad (2)$$

где  $\sigma_f^{\text{эфф}} \text{Np}(E)$  — эффективное сечение деления  $\text{Np}^{237}$  за фильтром из  $\text{B}^{10}$ ;  $\varphi(E)$  — дифференциальный перенос нейтронов.

Поскольку чувствительность зависит от толщины фильтра, расчеты проводились для разных толщин  $\text{B}^{10}$ . Усредненные по набору спектров [1] результаты расчета для кермы и ее эквивалента приведены на рис. 2. На этом же рисунке представлена зависимость максимальной ошибки измерения для набора действующих спектров нейтронов, полученная в работе [1]. Так как при измерении кермы и ее эквивалента оптимальный состав изотопов в дозиметре одинаковый, то и погрешности одни и те же. Таким образом, дозиметр ДИНА можно применять для аварийного и повседневного контроля, изменяв только дозовую цену трека.

Из рис. 2 следует, что оптимальная толщина фильтра из  $\text{B}^{10}$  равна  $0,1\text{--}0,15 \text{ г}/\text{см}^2$ . При этой толщине цена трека для аварийного контроля составляет около  $2 \text{ мрад}/\text{трек}\cdot\text{мг}$   $\text{Np}^{237}$ , а для повседневного  $20 \text{ мбэр}/\text{трек}\cdot\text{мг}$   $\text{Np}^{237}$ . Такая величина позволяет измерять дозы нейтронов

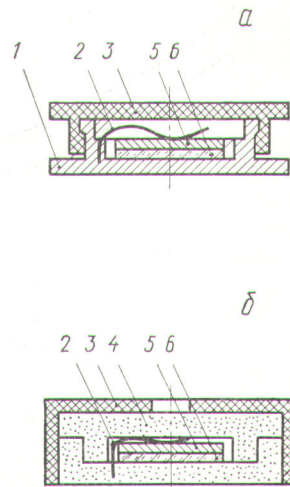


Рис. 1. Конструкция индивидуального дозиметра нейтронов.

*a* — детектор с  $\text{U}^{235}$ ; *b* — детектор с  $\text{Np}^{237}$ ; 1 — кассета; 2 — пружина; 3 — полимерная крышка; 4 — фильтр из  $\text{B}^{10}$  толщиной  $0,1 \text{ г}/\text{см}^2$ ; 5 — мишень; 6 — трековый стеклянный детектор.

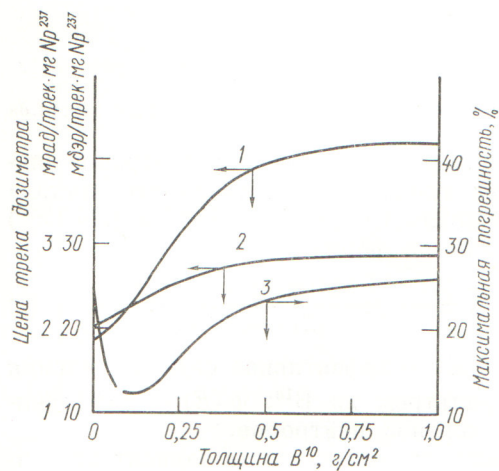


Рис. 2. Зависимость цены трека индивидуального дозиметра при аварийном (1) и повседневном (2) контроле и максимальной ошибки измерения (3) от толщины борного фильтра.

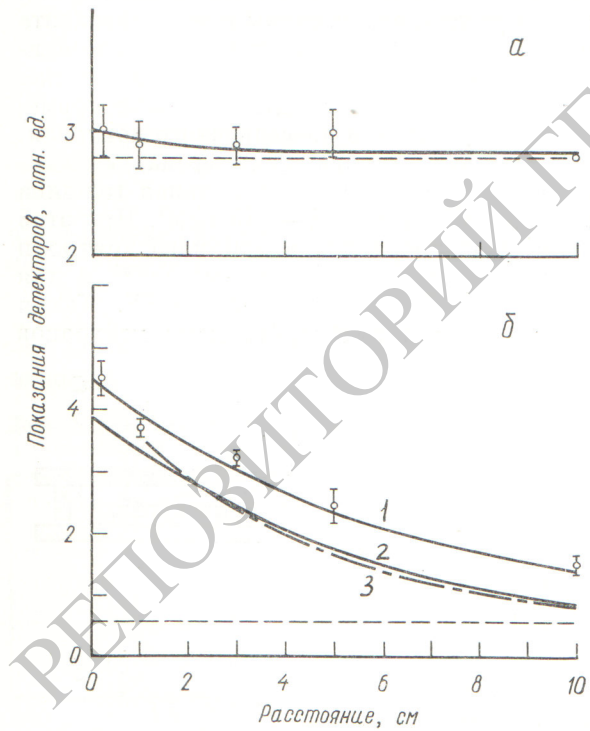


Рис. 3. Зависимость показаний индивидуального дозиметра от расстояния до поверхности фантома.

а — детектор с Np<sup>237</sup> + 0,1 г/см<sup>2</sup> B<sup>10</sup>; б — детектор с U<sup>235</sup>; штриховые линии — измерение без фантома; 1 — суммарные показания детектора с U<sup>235</sup>; 2 — тепловые нейтроны из фантома; 3 — расчет для дискового изотропного источника.

в области 5—5000 рад (это соответствует рекомендациям МАГАТЭ [2]) со статистической точностью не хуже 2% и эквивалент дозы около 0,5 бер и выше (что соответствует предельно допустимой квартальной дозе согласно требованиям НРБ — 69 [3]) со статистической точностью не хуже 15%.

Поскольку индивидуальный дозиметр предназначен для измерения максимального значения дозы нейтронов на поверхности тела человека, важно оценить влияние возможного неплотного прилегания дозиметра к телу. Эти оценки были сделаны при анализе зависимости показаний дозиметра ДИНА от расстояния до поверхности тканеэквивалентного фантома торса человека. Измерение проводили в коллимированном пучке реактора ИБР ОИЯИ [4] на расстоянии 10 м от активной зоны. Фантом представлял собой эллиптический цилиндр с размерами полуосей 12,7 и 18 см и высотой 60 см, наполненный тканеэквивалентным раствором, толщина винилпластика оболочки фантома была равна 0,3 см [5]. Дозиметры устанавливались по малой полуоси на разных расстояниях от поверхности фантома, причем их взаимная экранировка была исключена. Поле облучения в пределах круга диаметром 40 см было равномерным.

На рис. 3 представлены результаты измерений для детекторов с Np<sup>237</sup> и U<sup>235</sup>. Показания детектора с Np<sup>237</sup> на поверхности фантома на несколько процентов выше, чем в воздухе, вследствие альбедо быстрых нейтронов, кроме того, они слабо зависят от расстояния до поверхности, поскольку определяющими являются быстрые нейтроны из реактора.

Показания детектора с U<sup>235</sup> существенно зависят от расстояния, поскольку перенос тепловых нейтронов из фантома является основным и на поверхности фантома он в семь раз превышал вклад тепловых нейтронов, падающих на детектор непосредственно из активной зоны. С увеличением расстояния от поверхности перенос тепловых нейтронов Ф уменьшается. Эта зависимость близка к рассчитанной для дискового изотропного источника диаметром 40 см (см. рис. 3). Она получена на основании работы [6] по формуле

$$\Phi_{\text{тепл}}(z) = \frac{A}{4\pi R^2} \ln \left( 1 + \frac{R^2}{z^2} \right), \quad (3)$$

где A — постоянная; z — расстояние от поверхности фантома; R = 20 см — радиус дискового источника, равный радиусу пучка нейтронов. Расчетная зависимость нормирована к экспериментальной при расстоянии от фантома 2,5 см.

Были проведены измерения с детектором из  $\text{Np}^{237}$  при облучении фантома под углом 45 и 90° к поверхности. Эти результаты в пределах погрешности измерений ( $\sim 10\%$ ) аналогичны облучению по нормали.

Таким образом, показания индивидуального дозиметра для промежуточных и быстрых нейтронов в пределах 10 см от поверхности тела человека практически не изменяются с расстоянием. Поэтому не обязательно дозиметр помещать вплотную к телу человека (без потери точности его можно укреплять не на поясе, а на кармане спецодежды). Керма тепловых и медленных нейтронов для этих расстояний изменяется примерно в два раза, однако вклад тепловых нейтронов в полную керму нейтронов, как правило, невелик.

При использовании аварийного индивидуального дозиметра нейтронов важно, чтобы его показания не зависели от направления облучения. Однако у трековых детекторов такая зависимость появляется при делении быстрыми нейтронами вследствие анизотропии углового распределения осколков деления [7]. Для оценки этого фактора была вычислена цена трека от  $\text{Np}^{237}$  в индивидуальном дозиметре ДИНА для различных углов облучения. Расчет проводили по формуле

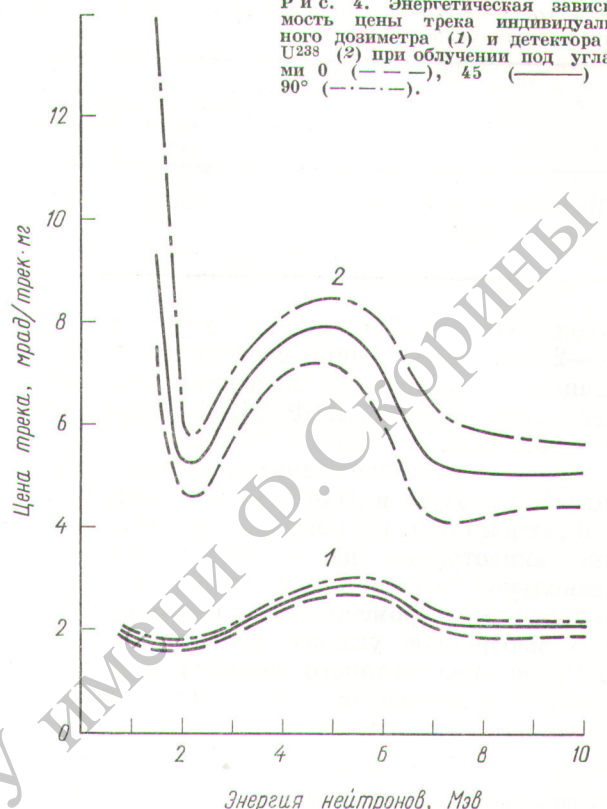
$$\Delta(E, \theta) = \frac{\delta(E)}{\sigma_f(E) \varepsilon_f(E, \theta) n}, \quad (4)$$

где  $\theta$  — угол облучения относительно нормали к поверхности детектора;  $\varepsilon_f(E, \theta)$  — эффективность регистрации осколков деления трековым детектором из силикатного стекла, взятая из работы [8].

Результаты расчета приведены на рис. 4 для углов облучения 0, 45 и 90°. Здесь же для сравнения представлены результаты аналогичных расчетов для детектора с  $\text{U}^{238}$ , который в некоторых случаях также применяется в индивидуальных дозиметрах [9]. Как и следовало ожидать, дозовая цена трека зависит от угла облучения. Изменение ее при облучении под углами 0 и 90° составляет 5—10% для  $\text{Np}^{237}$  и 15—25% для  $\text{U}^{238}$ .

При дозиметрических измерениях приходится иметь дело не с моноэнергетическими нейтронами, а с некоторым спектром  $\varphi(E)$ , поэтому рассчитывалась цена трека, усредненная для нескольких спектров. Были выбраны спектр Ри — Ве-источника, который часто используется при калибровке дозиметров, спектры деления и водо-водянного реактора [10], близ-

Рис. 4. Энергетическая зависимость цены трека индивидуального дозиметра (1) и детектора с  $\text{U}^{238}$  (2) при облучении под углами 0 (---), 45 (—), и 90° (- - -).



кие к встречающимся на практике. Усреднение проводили по формуле

$$\bar{\Delta}(\theta) = \frac{\int \Delta(E, \theta) \varphi(E) dE}{\int \varphi(E) dE}. \quad (5)$$

Полученные результаты представлены в табл. 1. Видно, что более сильное изменение усредненной цены трека наблюдается для  $\text{U}^{238}$ , анизотропия деления которого больше, чем  $\text{Np}^{237}$ . Такое изменение при неопределенности в направлении облучения приводит к дополнительной ошибке в оценке дозы нейтронов. Для дозиметра с  $\text{Np}^{237}$  она невелика и составляет 3—5%, а для  $\text{U}^{238}$  значительно выше (15—22%) и существенно ограничивает точность дозиметрических измерений.

Угловая зависимость показаний индивидуального дозиметра нейтронов ДИНА и детектора с  $\text{U}^{238}$  была определена экспериментально на реакторе ИБР ОИЯИ при облучении дозиметров коллимированным пучком нейтронов под углом 0, 45 и 90° к поверхности мишени. Относительно угла 45° изменение цены трека для  $\text{U}^{238}$  составило 18% (угол 0°) и —14%

Цена трека от  $\text{Np}^{237}$  в индивидуальном дозиметре нейтронов ДИНА и детектора с  $\text{U}^{238}$   
при разных углах облучения

Таблица 1

Детектор	Цена трека, мрад/трек·мг								
	Ри — Ве-источник			Спектр деления			Водо-водянной реактор		
	0°	45°	90°	0°	45°	90°	0°	45°	90°
Индивидуальный дозиметр ДИНА $\text{U}^{238}$	2,20 8,7	2,35 10,0	2,45 10,9	2,10 10,0	2,21 11,4	2,30 13,3	2,41 14,1	2,52 16,4	2,62 19,1

(угол 90°); соответственно для  $\text{Np}^{237}$  3% и —2,7%. Эти величины соответствуют рассчитанным по формуле (5) значениям для спектра нейтронов реактора ИБР ОИЯИ, измеренного в работе [11].

Приведенные выше данные получены для дозиметров в воздухе и дают верхнюю оценку угловой зависимости. На поверхности фантома влияние анизотропии на величину дозы будет несколько меньше вследствие увеличения вклада в дозу промежуточных нейтронов, имеющих изотропное угловое распределение. Для  $\text{U}^{235}$ , деление которого вызвано практически полностью тепловыми нейтронами, угловая зависимость отсутствует как в воздухе, так

и на поверхности фантома, поскольку распределение осколков деления на тепловых нейтронах изотропно.

Для определения влияния хода с жесткостью на показания индивидуального дозиметра ДИНА его облучали нейтронами деления за щитой из воды, железа и железа с полиэтиленом. На реакторе ИБР ОИЯИ облучение дозиметров осуществляли за слоем воды толщиной 4 см, а на реакторе ИРТ-1000 — за борно-свинцовым фильтром [12], причем дозиметры размещались как в воздухе, так и на поверхности фантома. Результаты измерений приведены в табл. 2, здесь же представлены значения кермы нейтронов, полученные в тех же точках

Характеристики индивидуального дозиметра нейтронов ДИНА

Таблица 2

Спектр нейтронов	Расположение дозиметров	Результаты измерений кермы, рад			Цена трека, мрад	Максимальная ошибка по отношению к набору детекторов, %	
		дозиметр ДИНА	набор потоговых детекторов	ионизационные камеры		трек·мг $\text{Np}^{237}$	эксперимент
Спектр ИБР ОИЯИ за фильтром из воды (толщина 4 см)	Воздух Передняя поверхность фантома Задняя поверхность	47,5 49,5 1,47	45,0 48,3 1,46	— — —	2,13 2,15 2,36	5,2 4,5 0,5	6,0 4,4 —1,5
Нейтроны деления за щитой из воды	Воздух Передняя поверхность фантома Задняя поверхность	9,0 9,6 1,41	8,5 9,2 1,46	— 9,7 —	2,13 2,18 2,30	5,4 4,4 —3,5	6,6 5,3 —2,0
Нейтроны деления за щитой из железа	Передняя поверхность фантома	1,94	2,08	2,0	2,48	—6,7	—2,3
Нейтроны деления за щитой из смеси железа и полиэтилена	Передняя поверхность фантома	2,37	2,65	2,58	2,50	—10	—6,6
ИРТ-1000, фильтр бор—свинец	Воздух	28,2	26,6	26,1	2,12	6,0	7,0

спектрометрическим набором пороговых детекторов [11, 13], и значения кермы, полученные В. И. Цветковым и Е. Н. Черновым с помощью тканеэквивалентных и графитовых ионизационных камер [14]. Из табл. 2 следует, что результаты измерений кермы различными методами совпадают в пределах  $\pm 10\%$ . При оценке хода с жесткостью была рассчитана максимальная ошибка  $\eta$  измерения кермы по спектрам, полученным набором пороговых детекторов. Она совпадает с ошибкой измерения эквивалента кермы и определяется выражением

$$\eta = 1 - \frac{\int \delta(E) \varphi(E) dE}{\int \Delta(E) \varphi(E) dE}. \quad (6)$$

Приведенные в табл. 2 погрешности согласуются с экспериментальными. В этой же таблице представлены значения цены трека индивидуального дозиметра ДИНА для разных спектров нейтронов. Среднее ее значение, равное 2,3 мрад/трек·мг  $\text{Nr}^{237}$ , имеет разброс  $\pm 8\%$  и соответствует расчетному значению 2,2 мрад/трек·мг  $\text{Nr}^{237}$  (см. рис. 2).

Авторы признательны Л. Б. Пикельнеру, Н. Н. Хотько, В. И. Цветкову, Е. Н. Чернову за полезные обсуждения и помочь при измерениях.

Поступила в Редакцию 23/II 1972 г.  
В окончательной редакции 29/V 1972 г.

## ЛИТЕРАТУРА

1. И. А. Бочвар и др. Handling of Radiation Accidents, Proc. Symp., Vienna, IAEA, 1969, p. 235.
2. Nuclear Accident Dosimetry Systems, Proc. IAEA Panel, Vienna, 1970.
3. Нормы радиационной безопасности (НРБ—69). М., Атомиздат, 1970.
4. Г. Е. Блохин и др. «Атомная энергия», 10, 437 (1961).
5. В. Г. Золотухин и др. Тканевые дозы нейтронов в теле человека. М., Атомиздат, 1972.
6. Б. Прайс, К. Хартон, К. Спинни. Защита от ядерных излучений. М., Изд-во иностр. лит., 1959.
7. Т. В. Королева, С. Н. Крайтор. «Атомная энергия», 31, 52 (1971).
8. Т. В. Королева, С. Н. Крайтор. В сб. «Метрология нейтронного излучения на реакторах и ускорителях». М., ВНИИФТРИ, 1971, стр. 74.
9. Г. М. Обатуров, Ю. К. Чумбаров. В сб. «Вопросы дозиметрии и защиты от излучений». Вып. 10. М., Атомиздат, 1969, стр. 155.
10. Ю. А. Егоров, В. И. Жарков, В. В. Постников. «Атомная энергия», 28, 170 (1970).
11. К. Кошаева, С. Н. Крайтор, Л. Б. Пикельнер. «Атомная энергия», 32, 68 (1972).
12. Ю. И. Брегадзе и др. «Атомная энергия», 12, 537 (1962).
13. Т. В. Королева, К. К. Кошаева, С. Н. Крайтор. «Атомная энергия», 32, 157 (1972).
14. В. Н. Храпачевский. В сб. «Биологическое действие быстрых нейтронов». Вып. 1. Киев, «Наукова думка», 1969, стр. 11.

### Уважаемые читатели!

Если Вы хотите приобрести отдельные номера журнала «Атомная энергия», известите нас об этом за 1,5–2 месяца до выхода интересующего Вас номера в свет (декабрьский номер заказывайте в октябре, январский — в ноябре и т. д.). Заявки шлите по адресу: 101876, Москва, Центр, ул. Кирова, 18, редакция журнала «Атомная энергия».